

## 弯曲水路における横断河床形

立命館大学 正員 小沢功一

1. はじめに 河川の曲線部においては内岸の凸岸附近には土砂が堆積し、また外岸の凹岸附近では河床等が洗掘される傾向がある。したがって河川弯曲部の凹岸は堤防としての弱点部となるので護岸を施す必要が生じてくる。そのような場合、河床の最大洗掘深を予測することができれば都合がよい。河川弯曲部のモデルとして单一の180度の弯曲角を持つ曲線部の前後に直線部が接続している場合を考える。このような弯曲水路においては弯曲部からの出口断面の外岸附近に最大洗掘深が見られると言われている。最大洗掘深についての定量的な評価については池田やZimmermann等の研究が見られる。これらの研究においては河床上の砂粒子に作用している力の主流方向および半径方向についての釣合いを考え、横断河床形の式を導いている。最大洗掘深はその河床形の最も外岸寄りの部分で起るとされている。それらの計算式を用いて最大洗掘深を求める場合、式の中に含まれているいろいろな係数はいくらくらいに取ったら良いのか、あるいはその式の曲率半径などについての適用限界はどれ程なのかという点等必ずしも明らかになっていない。そこで同じような考え方から別に得られた横断河床形の式について実験値と比較しながら考察を行なった。

2. 基礎方程式 水深が曲率半径に比較して小さく、また流れが主流方向に一様である場合、円筒座標で表わした運動方程式はつきのようである。ト方向については  $-U_T^2/r = -g I_r + \partial(\varepsilon \partial U_r / \partial z) / \partial z \dots (1)$ , オ方向については  $g I_\theta + \partial(\varepsilon \partial U_\theta / \partial z) / \partial z = 0 \dots (2)$  となる。また連続式は  $\partial U_r / \partial r + U_r / r + \partial U_\theta / \partial \theta = 0 \dots (3)$  である。ここに  $U_r$ ,  $U_\theta$  はそれぞれト, オ方向の流速であり図-1のような分布を考えている。また  $I_r$ ,  $I_\theta$  はそれぞれト, オ方向の水面勾配であり、 $I_r = \partial z_h / \partial r$ ,  $I_\theta = -\partial z_h / r \partial \theta$  となる。 $z_h$  は自由表面の  $z$  座標である。また  $\varepsilon$  は渦動粘性係数である。そして  $z$  方向には静水圧分布とするとしている。つきに  $U_r$  としては速度欠損則  $(U_{max} - U_r) / U_r = -1/k \cdot \ln \{(z - z_b) / h\}$  を用いて式(1)からト方向のせん断力を  $T_r = \rho \varepsilon \partial U_r / \partial z$  として求めめる。 $z_b$  は河床の  $z$  座標、 $h$  は摩擦速度、 $k$  はKármán定数である。この時の境界条件としては自由表面においてはせん断力は0であるとしている。また  $T_r$  としてはつきのようにすることができると実験的にも確かめられている。

$$T_r = (\alpha_0 + \alpha_1) U_m^2 / g r \quad \text{ここで } \alpha_0 = \int_0^r (U_\theta^2 / g r) d\theta / (U_m^2 / g r), \\ \alpha_1 = (\sqrt{g}/kC)^2 + (KC/\sqrt{g}) \text{ である。} U_m \text{ は } U_\theta \text{ についての}$$

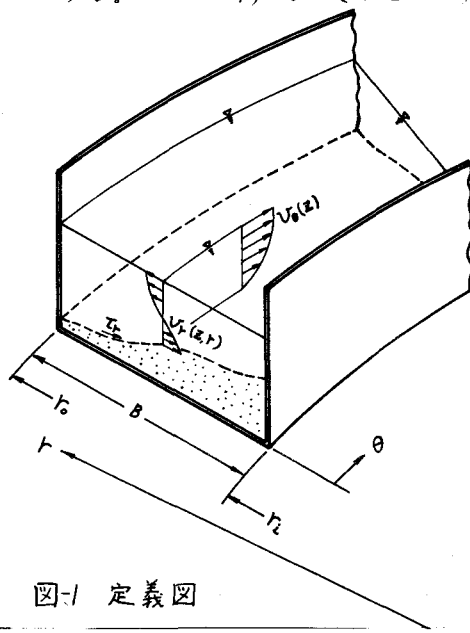


図-1 定義図

鉛直方向の平均値、 $\gamma$ は無次元鉛直座標  $\gamma = (z - z_b)/h$ 。CはChezy式の係数である。 $\gamma$ ここで河床上における砂粒子は球形であるとしてその一粒子に作用するせん断力と重力とのそれぞれについての斜面方向成分の釣合いは遮蔽係数入を考慮するとつきのようになる。 $(1/\lambda)(\tau_r)_{\gamma=0}(\pi D^3/4)\cos\theta = (P_s - P)g(\pi D^3/6)\sin\theta \dots (4)$  ここに  $P_s$  は砂の密度である。また横断河床は曲率半径  $r$  の位置で水平と角  $\theta$  をなす斜面になつているとしこう。式(4)から横断方向の水深はつきのように表わされる。 $h/h_a = (r/r_c)^B(A/B + 1) - A/B \dots (5)$  ここに  $h_a$  は平均水深、 $r$  は水路中心の曲率半径、 $A, B$  は定数。

3. 実験結果および考察 始めに水路の底に中央粒径が  $0.72\text{ mm}$  の砂を水平に約  $8\text{ cm}$  の厚さに敷き、その高さを砂面測定器で測つておく。つきに水を一定時間流した後の河床を再び測つて河床変動量を求めた。そのようにして測つた流下実験後の河床の一例を等高線で示すと図-2のようである。これは流量が  $21.5\text{ l/s}$ 、流下実験時間は 3 時間のものであり、河床高を平均してその平均値から偏りについて示してある。この図から弯曲角が  $150^\circ$  度以降においては等高線は流下方向にほぼ平行になつてゐることがわかる。したがつてこの部分においては流れは主流方向に一様であると考えることができ。つきに弯曲部から出口の横断面を示すと図-3のようになる。この場合の流量は  $13.11\text{ l/s}$ 、流下実験時間は 1.5 時間である。この図には式(5)に基づいた計算式から得られた値もプロットしてあるが実験値と良く一致していると見ることができる。計算する場合に、鉛直方向の平均流速  $V_m$  は横断方向に一定としている。二次流の完全発達域においては  $V_m$  は強制渦型として分布するとされているが、図のよう傾斜した河床の横断面においては  $V_m$  は横断方向にほぼ一定な  $V_m \approx 27\text{ cm/s}$  とする事ができると実験的に明らかになった。また式(5)の中の平均水深  $h_a$  に関して、一連の実験値を整理すると図-4に示されているように  $h_{as} \approx h_{ac}$  である事が明らかになった。

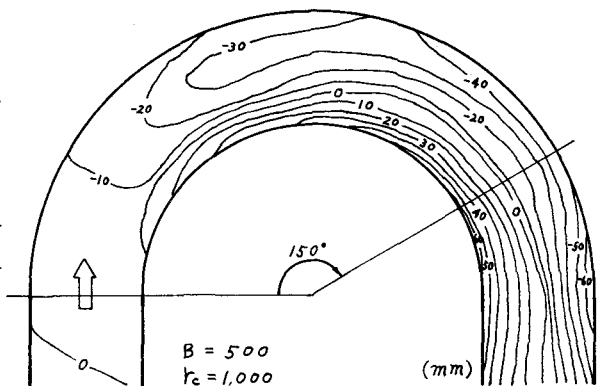


図-2 等高線図

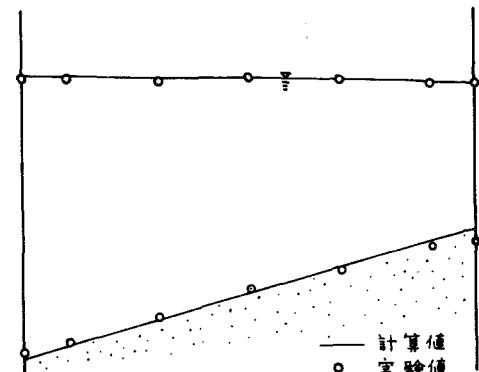


図-3 横断面図

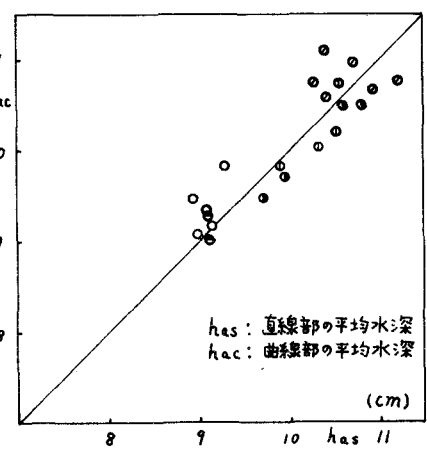


図-4 平均水深  $h_a$